

УДК 624.131+539.215

## ГАРМОНИЧЕСКИЕ КОЛЕБАНИЯ ПОРИСТО-УПРУГОГО НАСЫЩЕННОГО ЖИДКОСТЬЮ СЛОЯ НА ЖЕСТКОМ ОСНОВАНИИ

А. М. ГОМИЛКО\*, А. А. ГУРЖИЙ\*, А. Н. ТРОФИМЧУК\*\*

\*Інститут гидромеханики НАН України, Київ

\*\*Украинський інститут дослідженням оточуючої середи та ресурсів, Київ

Получено 22.09.99 ◇ Пересмотрено 10.10.99

Рассмотрена осесимметричная задача о гармонических колебаниях пористо-упругого насыщенного жидкостью слоя, находящегося на жестком основании и возбуждаемого нагрузкой типа непроницаемого поршня. С использованием интегрального преобразования Ханкеля найдено явное аналитическое решение соответствующей граничной задачи для системы уравнений М. Био. В результате численных расчетов получены характеристики полей давления и напряжений в слое, проанализированы энергетические особенности колебаний в зависимости от частоты.

Розглянуто осесиметричну задачу про гармоничні коливання пористо-пружного насиченого рідиною шару, який знаходитьсь на жорсткій основі і збуджується навантаженням типу непроникливого поршня. З використанням інтегрального перетворення Ханкеля знайдено явний аналітичний розв'язок відповідної граничної задачі для системи рівнянь М. Біо. В результаті чисельних розрахунків отримано характеристики полів тиску і напруження в шарі, проаналізовано енергетичні особливості коливань в залежності від частоти.

There is considered an axisymmetrical problem on harmonic vibration of poroelasticity liquid-filled layer located a rigid base disturbed by impermeable piston-type load. Using Hankel's integral transform the analytical solution of corresponding boundary-value problem for system equations of M. Biot is found. As a result of numerical modelling, the characteristics of pressure and stress fields in layer were obtained, and energetic peculiarities of vibration in dependence of frequency are analyzed.

### ВВЕДЕНИЕ

Динамические задачи механики деформируемого твердого тела обычно рассматриваются в предположении упругости или вязкоупругости материала среды. Однако большой практический интерес представляют также пористые материалы, насыщенные жидкостью (грунтовые и скальные основания, дно океана и др.). Такие среды представляются как двухфазная среда – пористая твердая фаза и жидкость, заполняющая поры. Одной из наиболее распространенных моделей двухфазных сред является модель Био [1], которая к настоящему времени имеет достаточное экспериментальное и теоретическое обоснование (см. [2–4] и содержащуюся в них многочисленную библиографию).

Во многих работах изучались вопросы отражения и прохождения волн при контактировании пористо-упругих сред с жидкими, упругими или пористо-упругими слоями, процессы распространения и затухания волн в пористо-упругом слое [3, 5–9]. Значительно меньше работ посвящено рассмотрению краевых задач динамики для пористо-упругой среды. Здесь основное внимание уделялось случаю полупространства. Так, для двухфазного полупространства детально рассмотрена задача Лэмба [3, 10–12]. Колебания жесткого непроницаемого прямоугольного штам-

па на пористо-упругом полупространстве изучались в статье [13], где исходная трехмерная граничная задача на основании использования соответствующей функции Грина была сведена к системе интегральных уравнений. Случай проницаемого штампа на полупространстве был рассмотрен в [3, 14].

Данная статья посвящена изучению особенностей осесимметричных колебаний пористо-упругого насыщенного жидкостью слоя, находящегося на жестком основании. Предполагается, что слой возбуждается гармонической нагрузкой типа непроницаемого поршня. Основной результат исследования состоит в получении явного аналитического решения соответствующей граничной задачи для системы уравнений Био в слое. Численные расчеты, проведенные на основании полученного решения, позволили проанализировать энергетические особенности колебаний слоя в зависимости от частоты.

### 1. ПОСТАНОВКА ЗАДАЧИ

Рассматривается осесимметричная задача о вынужденных гармонических колебаниях пористо-упругого водонасыщенного слоя  $\bar{z} \in (0, \bar{h})$ , где  $(\bar{r}, \theta, \bar{z})$  – цилиндрические координаты. Предполагается, что нижняя грань упругого скелета  $\bar{z} = 0$

жестко защемлена, а на верхній грани задана гармоническая нагрузка  $P(\bar{r})e^{i\omega\bar{t}}$  типа непроницаемого поршня и ставится условие равенства перемещений твердого скелета и жидкости [3]. Далее будем считать, что нагрузка  $P(\bar{r})$  сосредоточена на площадке  $\bar{r} \leq a$  и отсутствует при  $\bar{r} > a$ .

Введем в рассмотрение безразмерные координаты  $r, z$ , высоту слоя  $h = \bar{h}/a$ , время  $t$  и частоту колебаний  $\zeta$  согласно соотношениям

$$r = \bar{r}/a, \quad z = \bar{z}/a, \quad t = c_2 \bar{t}/a, \quad \zeta = a\omega/c_2,$$

и пусть  $c_2 = \{|N|/(\rho_{11} - \rho_{12}^2/\rho_{22})\}^{1/2}$  – скорость по-перечной волны в двухфазной среде без учета диссипации и вязкости упругого скелета. Здесь  $N$  – модуль сдвига скелета;  $\rho_{12} \leq 0$  – коэффициент динамической связи фаз;  $\rho_{11} = (1-m)\rho_s - \rho_{12}$ ,  $\rho_{22} = m\rho_f - \rho_{12}$  – эффективные плотности фаз, причем  $\rho_s$  и  $\rho_f$  – плотности упругого скелета и жидкости соответственно. Далее временной множитель  $e^{i\zeta t}$  опускается.

Уравнения движения пористо-упругой среды в рамках модели М. Био для векторов перемещений твердой и жидкой фаз  $\vec{u} = \{u_r, u_z\}$ ,  $\vec{v} = \{v_r, v_z\}$  в безразмерных переменных имеют вид [3]

$$\begin{aligned} N\Delta\vec{u} + (A + N) \operatorname{grad} \operatorname{div} \vec{u} + Q \operatorname{grad} \operatorname{div} \vec{v} &= \\ = -\zeta^2 c_2^2 (\rho_{11}\vec{u} + \rho_{12}\vec{v}) + i\zeta B c_2^2 \rho_{11} (\vec{u} - \vec{v}), & \\ Q \operatorname{grad} \operatorname{div} \vec{u} + R \operatorname{grad} \operatorname{div} \vec{v} &= \\ = -\zeta^2 c_2^2 (\rho_{12}\vec{u} + \rho_{22}\vec{v}) - i\zeta B c_2^2 \rho_{11} (\vec{u} - \vec{v}), & \end{aligned} \quad (1)$$

где

$$\begin{aligned} A &= \lambda + sQ; \quad Q = sR; \\ B &= \frac{a}{c_2 \rho_{11}} \mathbf{b}, \quad \mathbf{b} = F(\zeta) \frac{m^2 \nu_0}{K_{pr}}, \end{aligned}$$

причем  $\lambda$  – параметр Ламе пористого скелета с пустыми порами;  $m$  – пористость;  $\nu_0$  – коэффициент динамической вязкости жидкости;  $K_{pr}$  – проницаемость;  $F$  – функция, учитывающая характер течения жидкости по порам;  $s$  – коэффициент, учитывающий упругую связь между фазами;  $R$  – параметр, связанный со сжимаемостью фаз и общей сжимаемостью пористо-упругого тела (см. [1, 13]). При низких частотах колебаний  $F(\zeta) \approx 1$ , и в этом случае преобладают эффекты диссипации в упругом скелете [15]. В простейшем случае внутреннее трение скелета может быть учтено путем введения комплексного модуля сдвига (см., например, [6]):

$$N = |N| e^{i\gamma}, \quad (2)$$

где  $\gamma \geq 0$  – коэффициент внутреннего трения.

Согласно сформулированной постановке задачи, граничные условия для решения системы (1) при  $r > 0$  имеют следующий вид:

$$\begin{aligned} u_r(r, 0) &= 0, \quad u_z(r, 0) = 0, \quad v_z(r, 0) = 0, \\ \sigma_z^s(r, h) + \sigma^f(r, h) &= 2NP(r), \\ \tau_{rz}^s(r, h) &= 0, \quad v_z(r, h) = u_z(r, h). \end{aligned} \quad (3)$$

Здесь  $\sigma_{ij}^s$  – компоненты тензора напряжений в упругом скелете при протекании жидкости;  $\sigma^f$  – сила, действующая на жидкость, отнесенная к единице попечного сечения пористой среды. Далее считаем, что смещения твердой и жидкой фаз обезразмерены посредством параметра  $a$ . При этом напряжения в цилиндрической системе координат для осесимметричного случая определяются зависимостями

$$\begin{aligned} \sigma_r^s &= 2N \frac{\partial u_r}{\partial r} + A \operatorname{div} \vec{u} + Q \operatorname{div} \vec{v}, \\ \sigma_z^s &= 2N \frac{\partial u_z}{\partial z} + A \operatorname{div} \vec{u} + Q \operatorname{div} \vec{v}, \\ \tau_{rz}^s &= N \left( \frac{\partial u_z}{\partial r} + \frac{\partial u_r}{\partial z} \right), \\ \sigma^f &= Q \operatorname{div} \vec{u} + R \operatorname{div} \vec{v}. \end{aligned} \quad (4)$$

## 2. ПРЕДСТАВЛЕНИЕ РЕШЕНИЯ СИСТЕМЫ УРАВНЕНИЙ М. БИО ЧЕРЕЗ ПОТЕНЦИАЛЫ

Решение осесимметричной граничной задачи (1), (3), согласно [3, 16], будем искать в виде

$$\vec{u} = \nabla \Phi_1 + \nabla \Phi_2 - \operatorname{rot} \left( \frac{\partial}{\partial r} \Psi \mathbf{e}_\theta \right), \quad (5)$$

$$\vec{u} = M_1 \nabla \Phi_1 + M_2 \nabla \Phi_2 - M_3 \operatorname{rot} \left( \frac{\partial}{\partial r} \Psi \mathbf{e}_\theta \right)$$

со скалярными потенциалами  $\Phi_1(r, z)$ ,  $\Phi_2(r, z)$  и  $\Psi(r, z)$ , которые являются решениями уравнений Гельмгольца

$$\begin{aligned} \Delta \Phi_1 + k_1^2 \Phi_1 &= 0, \\ \Delta \Phi_2 + k_2^2 \Phi_2 &= 0, \\ \Delta \Psi + k_3^2 \Psi &= 0 \end{aligned} \quad (6)$$

с безразмерными волновыми числами

$$\begin{aligned} k_j^2 &= \zeta^2 \frac{c_2^2}{c^2} z_j, \quad j = 1, 2, \\ k_3^2 &= \zeta^2 \frac{\rho c_2^2}{N} [\Gamma_{11} + M_3 \Gamma_{12} + (1 - M_3) i \Gamma]. \end{aligned} \quad (7)$$

При этом величины  $z = z_j$ ,  $j = 1, 2$  находятся как корни квадратного уравнения

$$(q_{11}q_{22} - q_{12}^2)z^2 - (q_{11}\Gamma_{22} + q_{22}\Gamma_{11} - 2q_{12}\Gamma_{12} + i\Gamma)z + (\Gamma_{11}\Gamma_{22} - \Gamma_{12}^2 + i\Gamma) = 0,$$

коэффициенты которого определяются выражениями

$$\begin{aligned} H &= A + 2N + R + 2Q; \\ \Gamma &= -B\rho_{11}/\zeta\rho; \quad \Gamma_{ij} = \rho_{ij}/\rho; \\ \rho &= (1-m)\rho_s + m\rho_f; \quad c^2 = \frac{H}{\rho}; \\ q_{11} &= A + 2N/H; \quad q_{12} = Q/H; \quad q_{22} = R/H; \quad (8) \\ M_{1,2} &= \{\Gamma_{11}q_{22} - \Gamma_{12}q_{12} - (q_{11}q_{22} - q_{12}^2)z_{1,2} + \\ &\quad +(q_{22} + q_{12})i\Gamma\}/\{\Gamma_{22}q_{12} - \Gamma_{12}q_{22} + \\ &\quad +(q_{22} + q_{12})i\Gamma\}; \\ M_3 &= (-\Gamma_{12} + i\Gamma)/(\Gamma_{22} + i\Gamma). \end{aligned}$$

Уравнения (6) показывают [2, 16], что в упругой пористой среде, насыщенной вязкой сжимаемой жидкостью, могут распространяться волны трех видов: продольные волны первого и второго типов ( $\Phi_1$ ,  $\Phi_2$ ) и поперечная волна ( $\Psi$ ). Постоянные распространения этих волн зависят как от характеристик среды, определяемых параметрами  $A, N, R, Q, b$ , так и от частоты колебаний  $\zeta$ . При этом скорости продольных  $c_1(\zeta)$ ,  $c_{12}(\zeta)$  и поперечной  $c_2(\zeta)$  объемных волн определяются выражениями

$$\begin{aligned} c_1^2(\zeta) &= c^2/z_1, \quad c_{12}^2(\zeta) = c^2/z_2, \\ c_2^2(\zeta) &= N/[\rho_{11} + \rho_{12}M_3 + i\Gamma\rho(1 - M_3)]. \end{aligned}$$

В силу уравнений (6) потенциалы  $\Phi_j(r, z)$ ,  $j = 1, 2$  и  $\Psi(r, z)$  можно представить в виде интегралов Фурье–Бесселя

$$\begin{aligned} \Phi_j(r, z) &= \int_0^\infty \{x_{j,1}(\xi)e^{-(h-z)\xi_j} + \\ &\quad + x_{j,2}(\xi)e^{-z\xi_j}\} \frac{J_0(r\xi)}{\xi_j} d\xi, \quad (9) \\ \Psi(r, z) &= \int_0^\infty \{y_1(\xi)e^{-(h-z)\xi_3} + \\ &\quad + y_2(\xi)e^{-z\xi_3}\} \frac{J_0(r\xi)}{\xi_3} d\xi, \end{aligned}$$

где  $\xi_j = \sqrt{\xi^2 - k_j^2}$ , а неизвестные функции  $x_{i,j}(\xi)$ ,  $y_j(\xi)$ ,  $i, j = 1, 2$  подлежат определению на основании граничных условий (3).

### 3. ВЫПОЛНЕНИЕ ГРАНИЧНЫХ УСЛОВИЙ

Согласно соотношениям (5), (9) для перемещений получаем

$$\begin{aligned} u_r(r, z) &= -\sum_{j=1}^2 \int_0^\infty \{x_{j,1}(\xi)e^{-(h-z)\xi_j} + \\ &\quad + x_{j,2}(\xi)e^{-z\xi_j}\} \frac{\xi J_1(r\xi)}{\xi_j} d\xi - \\ &\quad - \int_0^\infty \{y_1(\xi)e^{-(h-z)\xi_3} - \\ &\quad - y_2(\xi)e^{-z\xi_3}\} J_1(r\xi) d\xi, \\ u_z(r, z) &= \sum_{j=1}^2 \int_0^\infty \{x_{j,1}(\xi)e^{-(h-z)\xi_j} - \\ &\quad - x_{j,2}(\xi)e^{-z\xi_j}\} J_0(r\xi) d\xi + \\ &\quad + \int_0^\infty \{y_1(\xi)e^{-(h-z)\xi_3} + \\ &\quad + y_2(\xi)e^{-z\xi_3}\} \frac{\xi J_0(r\xi)}{\xi_3} d\xi, \quad (10) \\ v_r(r, z) &= -\sum_{j=1}^2 M_j \int_0^\infty \{x_{j,1}(\xi)e^{-(h-z)\xi_j} + \\ &\quad + x_{j,2}(\xi)e^{-z\xi_j}\} \frac{\xi J_1(r\xi)}{\xi_j} d\xi - \\ &\quad - M_3 \int_0^\infty \{y_1(\xi)e^{-(h-z)\xi_3} - \\ &\quad - y_2(\xi)e^{-z\xi_3}\} J_1(r\xi) d\xi, \\ v_z(r, z) &= \sum_{j=1}^2 M_j \int_0^\infty \{x_{j,1}(\xi)e^{-(h-z)\xi_j} - \\ &\quad - x_{j,2}(\xi)e^{-z\xi_j}\} J_0(r\xi) d\xi + \\ &\quad + M_3 \int_0^\infty \{y_1(\xi)e^{-(h-z)\xi_3} + \\ &\quad + y_2(\xi)e^{-z\xi_3}\} \frac{\xi J_0(r\xi)}{\xi_3} d\xi. \end{aligned}$$

Введем в рассмотрение постоянные

$$\begin{aligned} a_j &= (A + M_j Q)/(2N), \quad q_j = (Q + M_j R)/(2N), \\ t_j &= a_j + q_j, \quad j = 1, 2. \end{aligned}$$

Тогда для нормированных напряжений, согласно уравнениям (4)–(6), с учетом равенств

$$\operatorname{div} \vec{u} = -k_1^2 \Phi_1 - k_2^2 \Phi_2,$$

$$\operatorname{div} \vec{v} = -M_1 k_1^2 \Phi_1 - M_2 k_2^2 \Phi_2,$$

имеем

$$\begin{aligned} \frac{\sigma_r^s}{2N} &= \frac{\partial u_r}{\partial r} - k_1^2 a_1 \Phi_1 - k_2^2 a_2 \Phi_2, \\ \frac{\sigma_z^s}{2N} &= \frac{\partial u_z}{\partial z} - k_1^2 a_1 \Phi_1 - k_2^2 a_2 \Phi_2, \\ \frac{\tau_{rz}^s}{2N} &= \frac{1}{2} \left( \frac{\partial u_z}{\partial r} + \frac{\partial u_r}{\partial z} \right), \\ \frac{\sigma_f}{2N} &= -k_1^2 q_1 \Phi_1 - k_2^2 q_2 \Phi_2. \end{aligned} \quad (11)$$

Проведя на основании соотношений (10), (11) соответствующие вычисления, получим для напряжений следующие представления через интегралы Фурье – Бесселя:

$$\begin{aligned} \frac{\sigma_r^s(r, z)}{2N} &= \sum_{j=1}^2 \int_0^\infty \{x_{j,1}(\xi) e^{-(h-z)\xi_j} + \\ &+ x_{j,2}(\xi) e^{-z\xi_j}\} \{\xi r^{-1} J_1(r\xi) - \\ &- [\xi^2 + k_j^2 a_1] J_0(r\xi)\} \xi_j^{-1} d\xi + \\ &+ \int_0^\infty \{y_1(\xi) e^{-(h-z)\xi_3} - y_2(\xi) e^{-z\xi_3}\} \times \\ &\times \{r^{-1} J_1(r\xi) - \xi J_0(r\xi)\} d\xi, \\ \frac{\sigma_z^s(r, z)}{2N} &= \sum_{j=1}^2 \int_0^\infty \{x_{j,1}(\xi) e^{-(h-z)\xi_j} + \\ &+ x_{j,2}(\xi) e^{-z\xi_j}\} [\xi_j^2 - k_j^2 a_j] \xi_j^{-1} J_0(r\xi) d\xi + \\ &+ \int_0^\infty \{y_1(\xi) e^{-(h-z)\xi_3} - \\ &- y_2(\xi) e^{-z\xi_3}\} \xi J_0(r\xi) d\xi, \quad (12) \\ \frac{\tau_{rz}^s(r, z)}{2N} &= - \sum_{j=1}^2 \int_0^\infty \{x_{j,1}(\xi) e^{-(h-z)\xi_j} - \\ &- x_{j,2}(\xi) e^{-z\xi_j}\} \xi J_1(r\xi) d\xi - \\ &- \int_0^\infty \{y_1(\xi) e^{-(h-z)\xi_3} + \\ &+ y_2(\xi) e^{-z\xi_3}\} \times \\ &\times [\xi^2 - k_3^2/2] \xi_3^{-1} J_1(r\xi) d\xi, \\ \frac{\sigma_f(r, z)}{2N} &= - \sum_{j=1}^2 k_j^2 q_j \int_0^\infty \{x_{j,1}(\xi) e^{-(h-z)\xi_j} + \\ &+ x_{j,2}(\xi) e^{-z\xi_j}\} \xi_j^{-1} J_0(r\xi) d\xi. \end{aligned}$$

Удовлетворение граничным условиям (3) проводится на основании свойств интегрального преобразования Ханкеля [17]:

$$\begin{aligned} f(r) &= \int_0^\infty F(\xi) \xi J_j(r\xi) d\xi, \quad r > 0, \\ F(\xi) &= \int_0^\infty f(r) r J_j(\xi r) dr, \quad \xi > 0, \end{aligned}$$

где  $j = 0, 1$ . При этом на основании равенств (10), (12) получаем следующую систему из шести уравнений относительно неизвестных функций  $x_{1,j}(\xi)$ ,  $x_{2,j}(\xi)$  и  $y_j(\xi)$ ,  $j = 1, 2$ , определенных при  $\xi > 0$ :

$$\begin{aligned} \sum_{j=1}^2 [x_{j,1}(\xi) e^{-h\xi_j} + x_{j,2}(\xi)] \xi \xi_j^{-1} + \\ + [y_1(\xi) e^{-h\xi_3} - y_2(\xi)] &= 0, \\ \sum_{j=1}^2 [x_{j,1}(\xi) e^{-h\xi_j} - x_{j,2}(\xi)] + \\ + [y_1(\xi) e^{-h\xi_3} + y_2(\xi)] \xi \xi_3^{-1} &= 0, \\ \sum_{j=1}^2 M_j [x_{j,1}(\xi) e^{-h\xi_j} - x_{j,2}(\xi)] + \\ + M_3 [y_1(\xi) e^{-h\xi_3} + y_2(\xi)] \xi \xi_3^{-1} &= 0, \quad (13) \\ \sum_{j=1}^2 (1 - M_j) [x_{j,1}(\xi) - x_{j,2}(\xi) e^{-h\xi_j}] + \\ + (1 - M_3) [y_1(\xi) + y_2(\xi) e^{-h\xi_3}] \xi \xi_3^{-1} &= 0, \\ \sum_{j=1}^2 [x_{j,1}(\xi) - x_{j,2}(\xi) e^{-h\xi_j}] \xi + \\ + [y_1(\xi) + y_2(\xi) e^{-h\xi_3}] [\xi^2 - k_3^2/2] \xi_3^{-1} &= 0, \\ \sum_{j=1}^2 [x_{j,1}(\xi) + x_{j,2}(\xi) e^{-h\xi_j}] [\xi_j^2 - k_j^2 t_j] \xi_j^{-1} + \\ + [y_1(\xi) - y_2(\xi) e^{-h\xi_3}] \xi &= \xi \bar{P}(\xi). \end{aligned}$$

Здесь  $\bar{P}(\xi)$  – преобразование Ханкеля от заданной нагрузки:

$$\bar{P}(\xi) = \int_0^\infty P(r) J_0(\xi r) r dr, \quad \xi > 0. \quad (14)$$

Введем для сокращения записи обозначения

$$\begin{aligned}\hat{s}_j &= \sinh(h\xi_j), \quad \hat{c}_j = \cosh(h\xi_j), \quad j = 1, 2, 3, \\ \alpha_{j,i} &= (1 - M_j)\xi^2 - (1 - M_i)\tau_3, \\ m_{j,i} &= M_i - M_j, \quad \tau_3 = \xi^2 - k_3^2/2, \\ \tau_j &= \xi_j^2 - k_j^2 t_j, \quad j = 1, 2.\end{aligned}$$

Опуская достаточно громоздкие выкладки, получаем определитель линейной алгебраической системы уравнений (13)  $D=D(\xi)$  в виде

$$\begin{aligned}D = &-m_{2,1}\xi_1^2\xi_2\xi_3\xi^2\{m_{3,1}\tau_2 + \alpha_{3,1}\}\hat{s}_1 + \\ &+ m_{2,1}\xi_1\xi_2^2\xi_3\xi^2\{\alpha_{3,2} + m_{3,2}\tau_1\}\hat{s}_2 - \\ &- \xi_1\xi_2\xi^2\{m_{3,2}\alpha_{3,1}\tau_1 + m_{3,1}\alpha_{3,2}\tau_2\}\hat{s}_3 + \\ &+ m_{1,2}\xi_1\xi_2^2\xi_3\{\alpha_{3,2}\tau_1 + m_{3,2}\xi^4\}\hat{c}_1\hat{s}_2\hat{c}_3 + \\ &+ m_{1,2}\xi_1^2\xi_2\xi_3\{m_{1,3}\xi^4 + \alpha_{1,3}\tau_2\}\hat{s}_1\hat{c}_2\hat{c}_3 + \\ &+ \xi_1\xi_2\xi^2\{m_{3,1}\alpha_{3,2}\tau_1 + m_{3,2}\alpha_{3,1}\tau_2\}\hat{c}_1\hat{c}_2\hat{s}_3 - \\ &- \xi^2\{m_{3,2}\alpha_{3,2}\xi_2^2\tau_1 + m_{3,1}\alpha_{3,1}\xi_1^2\tau_2 + \\ &+ m_{1,2}^2\xi_1^2\xi_2^2\xi_3^2\}\hat{s}_1\hat{s}_2\hat{s}_3.\end{aligned}\tag{15}$$

При этом можно показать, что решение системы (13) дается выражениями

$$\begin{aligned}x_{i,j}(\xi) &= \frac{\xi^2\xi_1\xi_2}{4\tau_3} \frac{X_{i,j}(\xi)}{D(\xi)} \overline{P}(\xi), \quad i, j = 1, 2, \\ y_1(\xi) &= -y_2(\xi)e^{-h\xi_3} - \\ &- \frac{\xi\xi_3}{\tau_3}[x_{1,1}(\xi) - x_{1,2}(\xi)e^{-h\xi_1}] - \\ &- \frac{\xi\xi_3}{\tau_3}[x_{2,1}(\xi) - x_{2,2}(\xi)e^{-h\xi_2}],\end{aligned}\tag{16}$$

$$\begin{aligned}2y_2(\xi) &= x_{1,1}(\xi)e^{-h\xi_1}[\xi/\xi_1 - \xi_3/\xi] + \\ &+ x_{1,2}(\xi)[\xi/\xi_1 + \xi_3/\xi] + \\ &+ x_{2,1}(\xi)e^{-h\xi_2}[\xi\xi_2 - \xi_3/\xi] + \\ &+ x_{2,2}(\xi)[\xi/\xi_2 + \xi_3/\xi],\end{aligned}$$

причем

$$\begin{aligned}X_{1,1}(\xi) &= \xi_1[m_{1,3}\alpha_{3,2}(\widehat{Q}_1^{(2)} - \widehat{Q}_2^{(2)}) + \\ &+ m_{3,2}\alpha_{3,1}e^{-h\xi_1}(Q_1^{(2)} - Q_2^{(2)})] + \\ &+ 2m_{3,2}\alpha_{3,2}\xi_2\widehat{s}_2Q_2^{(1)}; \\ X_{1,2}(\xi) &= \xi_1[m_{1,3}\alpha_{3,2}e^{-h\xi_1}(\widehat{Q}_1^{(2)} - \widehat{Q}_2^{(2)}) + \\ &+ m_{3,2}\alpha_{3,1}(Q_1^{(2)} - Q_2^{(2)})] + \\ &+ 2m_{3,2}\alpha_{3,2}\xi_2\widehat{s}_2\widehat{Q}_2^{(1)}; \\ X_{2,1}(\xi) &= \xi_2[m_{2,3}\alpha_{3,1}(\widehat{Q}_2^{(1)} - \widehat{Q}_1^{(1)}) + \\ &+ m_{3,1}\alpha_{3,2}e^{-h\xi_2}(Q_1^{(1)} - Q_2^{(1)})] + \\ &+ 2m_{3,1}\alpha_{3,1}\xi_1\widehat{s}_1Q_2^{(2)}; \\ X_{2,2}(\xi) &= \xi_2[m_{2,3}\alpha_{3,1}e^{-h\xi_2}(\widehat{Q}_1^{(1)} - \widehat{Q}_2^{(1)}) + \\ &+ m_{3,1}\alpha_{3,2}(Q_1^{(1)} - Q_2^{(1)})] + \\ &+ 2m_{3,1}\alpha_{3,1}\xi_1\widehat{s}_1\widehat{Q}_2^{(2)},\end{aligned}$$

где функции

$$\begin{aligned}\widehat{Q}_1^{(2)} &= e^{h\xi_2}Q_1^{(2)}, \quad \widehat{Q}_2^{(2)} = e^{-h\xi_2}Q_2^{(2)}; \\ \widehat{Q}_1^{(1)} &= e^{h\xi_1}Q_1^{(1)}, \quad \widehat{Q}_2^{(1)} = e^{-h\xi_1}Q_2^{(1)}; \\ Q_1^{(1)}(\xi) &= \xi^{-1}\xi_1\xi_3\tau_3\widehat{c}_3 - \xi\tau_3\widehat{s}_3 - \xi\xi_1\xi_3e^{-h\xi_1}; \\ Q_2^{(1)}(\xi) &= \xi^{-1}\xi_1\xi_3\tau_3\widehat{c}_3 + \xi\tau_3\widehat{s}_3 - \xi\xi_1\xi_3e^{h\xi_1}; \\ Q_1^{(2)}(\xi) &= \xi^{-1}\xi_2\xi_3\tau_3\widehat{c}_3 - \xi\tau_3\widehat{s}_3 - \xi\xi_2\xi_3e^{-h\xi_2}; \\ Q_2^{(2)}(\xi) &= \xi^{-1}\xi_2\xi_3\tau_3\widehat{c}_3 + \xi\tau_3\widehat{s}_3 - \xi\xi_2\xi_3e^{h\xi_2}.\end{aligned}$$

Таким образом, формулы (10), (12) и (14)–(16) дают явное аналитическое решение граничной задачи (1), (3). При этом уравнение  $D(\xi)=0$ , рассматриваемое во всей комплексной плоскости, является дисперсионным уравнением для определения цилиндрических волн, распространяющихся в пористо-упругом слое при физических условиях, которые описываются однородными граничными условиями (3) [18].

Рассмотрим выражение для средней за период  $T=2\pi/\zeta$  работы сил, действующих на двухфазный слой (функция диссипации  $\overline{W}(\zeta)$ ) при наличии гармонического нагружения (3). Согласно [19], с учетом осесимметричности граничной

задачи (1), (3), имеем

$$\begin{aligned}\overline{W}(\zeta) &= \pi \operatorname{Re} \left\{ \int_0^\infty i\zeta [\sigma_z^s(r, h) u_z^*(r, h) + \right. \\ &\quad \left. + \tau_{rz}^s(r, h) u_r^*(r, h) + \sigma^f(r, h) v_z^*(r, h)] r dr \right\} = \\ &= 2\pi\zeta \operatorname{Im} \left\{ \int_0^\infty NP(r) u_z(r, h) r dr \right\},\end{aligned}$$

где индекс \* означает комплексное сопряжение. Используя формулу Парсеваля для преобразования Ханкеля [17] и выражение для  $u_z(r, h)$  из (10), получаем

$$\overline{W}(\zeta) = 2\pi\zeta|N| \int_0^\infty \{\overline{P}(\xi) \operatorname{Im}(e^{-i\gamma} u(\xi)) \overline{P}(\xi)\} d\xi, \quad (17)$$

где  $\gamma$  – коэффициент внутреннего трения упругого скелета из выражения (2), а функция смещений твердой фазы дана как

$$\begin{aligned}u(\xi) &= x_{1,1}(\xi) - x_{1,2}(\xi)e^{-h\xi_1} + \\ &\quad + x_{2,1}(\xi) - x_{2,2}(\xi)e^{-h\xi_2} + \\ &\quad + \{y_1(\xi) + y_2(\xi)e^{-h\xi_3}\}\xi/\xi_3.\end{aligned}$$

Отметим равенство

$$\overline{W}(\zeta) = 2\pi b \int_0^h \int_0^\infty |\vec{u}(r, z) - \vec{v}(r, z)|^2 r dr dz, \quad (18)$$

показывающее, что величина  $\overline{W}(\zeta)$  определяется функцией диссипации колебаний в двухфазной пористо-упругой среде, обусловленной вязкостным взаимодействием фаз [19].

Величину  $\overline{W}(\zeta)$  можно представить в виде суммы двух слагаемых

$$\overline{W}(\zeta) = \overline{W}^s(\zeta) + \overline{W}^f(\zeta),$$

где  $\overline{W}^s(\zeta)$  и  $\overline{W}^f(\zeta)$  – средняя за период работа сил, действующих на упругий скелет и жидкую fazу соответственно. Для этих величин получаем вы-

ражения

$$\begin{aligned}\overline{W}^s(\zeta) &= \pi \operatorname{Re} \left\{ \int_0^\infty i\zeta \sigma_z^s(r, h) u_z^*(r, h) r dr \right\} = \\ &= -2\pi\zeta|N| \operatorname{Im} \left\{ \int_0^\infty e^{i\gamma} \Sigma^s(\xi) u^*(\xi) d\xi \right\}, \\ \overline{W}^f(\zeta) &= \pi \operatorname{Re} \left\{ \int_0^\infty i\zeta \sigma^f(r, h) v_z^*(r, h) r dr \right\} = \\ &= -2\pi\zeta|N| \operatorname{Im} \left\{ \int_0^\infty e^{i\gamma} \Sigma^f(\xi) u^*(\xi) d\xi \right\},\end{aligned}\quad (19)$$

где

$$\begin{aligned}\Sigma^s(\xi) &= \{x_{1,1}(\xi) + x_{1,2}(\xi)e^{-h\xi_1}\} [\xi_1^2 - k_1^2 a_1] / (\xi_1 \xi) + \\ &\quad + \{x_{2,1}(\xi) + x_{2,2}(\xi)e^{-h\xi_2}\} [\xi_2^2 - k_2^2 a_2] / (\xi_2 \xi) + \\ &\quad + \{y_1(\xi) - y_2(\xi)e^{-h\xi_3}\}; \\ \Sigma^f(\xi) &= -k_1^2 q_1 \{x_{1,1}(\xi) + x_{1,2}(\xi)e^{-h\xi_1}\} / (\xi_1 \xi) - \\ &\quad - k_2^2 q_2 \{x_{2,1}(\xi) + x_{2,2}(\xi)e^{-h\xi_2}\} / (\xi_2 \xi).\end{aligned}$$

В случае равномерно распределенной на площадке  $r < 1, z = h$  нагрузки

$$P(r) = P_0, \quad r \in (0, 1), \quad P(r) \equiv 0, \quad r > 1, \quad (20)$$

для преобразования Ханкеля имеем равенство  $\overline{P}(\xi) = J_1(\xi)/\xi$ ,  $\xi > 0$ . Тогда из формулы (17) получаем следующее выражение для нормированной работы сил:

$$W(\zeta) \equiv \frac{\overline{W}(\zeta)}{2NP_0^2} = \frac{\pi\zeta}{P_0} \int_0^\infty \{\operatorname{Im} u(\xi)\} \frac{J_1(\xi)}{\xi} d\xi. \quad (21)$$

#### 4. ЧИСЛЕННЫЕ РЕЗУЛЬТАТЫ

Расчеты проводились для случая равномерной нагрузки (20) слоя безразмерной высоты  $h=1$  с характеристиками двухфазной среды, взятыми из [3] (водонасыщенный песок):  $\lambda=1.47 \cdot 10^8 \text{ Н/м}^2$ ,  $s=1.02$ ,  $N=9.79 \cdot 10^7 \text{ Н/м}^2$ ,  $R=2.74 \cdot 10^8 \text{ Н/м}^2$ ,  $\rho_s=2.67 \cdot 10^3 \text{ кг/м}^3$ ,  $\rho_f=0.994 \cdot 10^3 \text{ кг/м}^3$ ,  $\rho_{12}=0$ ,  $m=0.30$ . При этом варьировались коэффициенты проницаемости двухфазного слоя и вязкость скелета грунта. Рассматривался диапазон низких частот  $f=0 \div 5 \text{ Гц}$ , для которого течение жидкости по порам подчиняется условию Пуазейля и  $F(\zeta) \equiv 1$ .

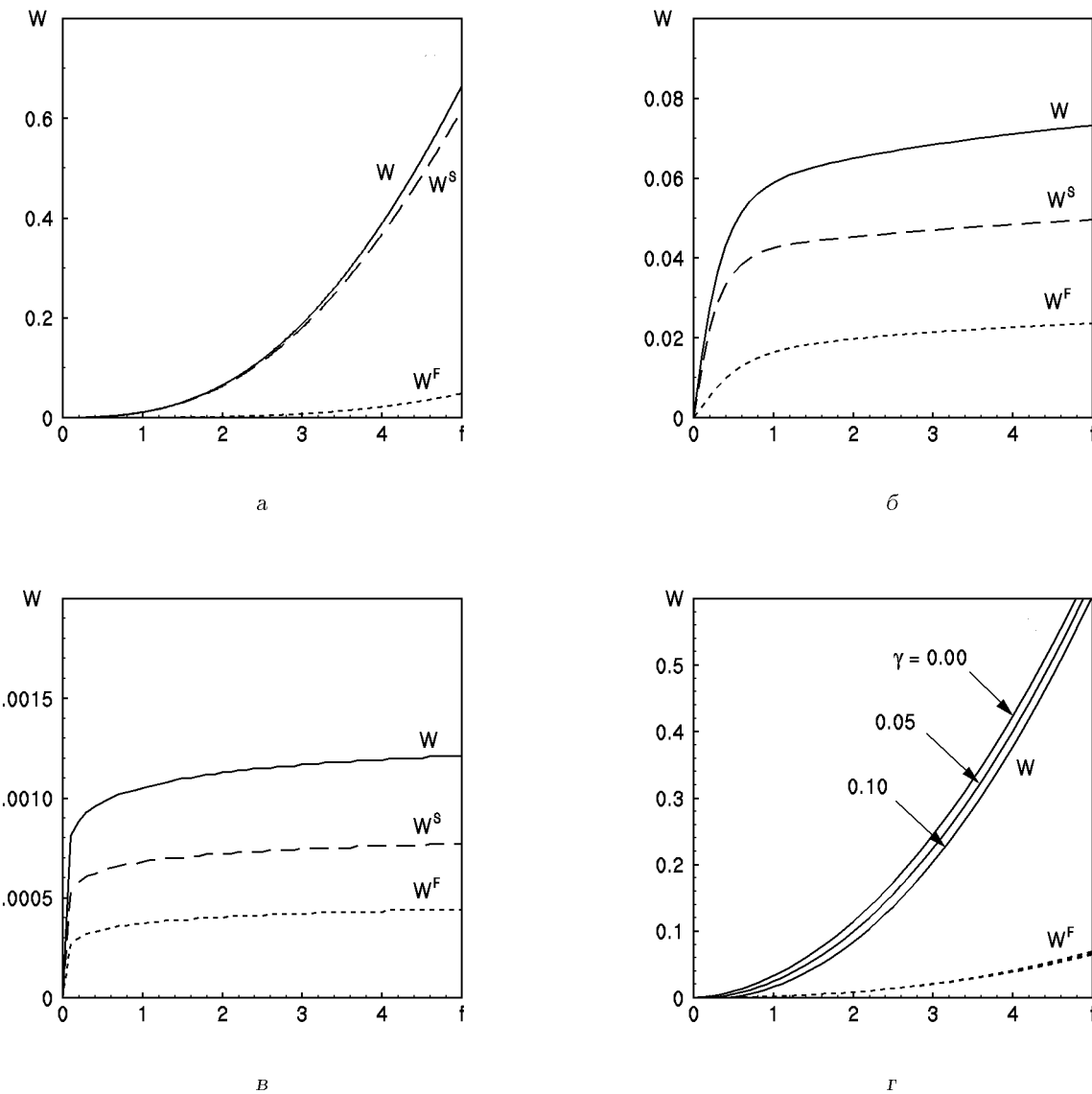


Рис. 1. Нормированная работа сил, действующих на двухфазную среду:

$a - b = 9 \cdot 10^2$ ,  $b - b = 9 \cdot 10^6$ ,  $c - b = 9 \cdot 10^9$ ,  
 $d -$  влияние вязкости скелета  $\gamma$  при  $b = 9 \cdot 10^2$

На рис. 1 показаны графики нормированной на  $2NP_0^2$  величины работы  $\bar{W}(\zeta)$  (формула (21)) и ее составляющих (формулы (19)). Видно, что для большой проницаемости среды, отвечающей малому значению коэффициента диссипации  $b$ , модель двухфазной среды приближается к модели среды “без связи” (упругая модель), и работа сил сосредотачивается в твердой фазе (рис. 1, а). В случае средней величины проницаемости (“среда с несовершенной связью”, модель Био) величины диссипации энергии в твердой и жидкой фазах со-

измеримы между собой и стабилизируются с ростом частоты (рис. 1, б). При малой проницаемости (“среда с совершенной связью”, эквивалентная однофазная упругая модель), как показано на рис. 1, в работа сил значительно уменьшается. Это означает, что перемещения твердой и жидкой фаз практически одинаковы, и двухфазная среда движется как однофазная (см. формулу (18)). Из рис. 1, г ( $b = 9 \cdot 10^2$  кг/(м<sup>3</sup>с)) видно, что увеличение значения коэффициента вязкости скелета среды  $\gamma$  приводит к уменьшению величины работы

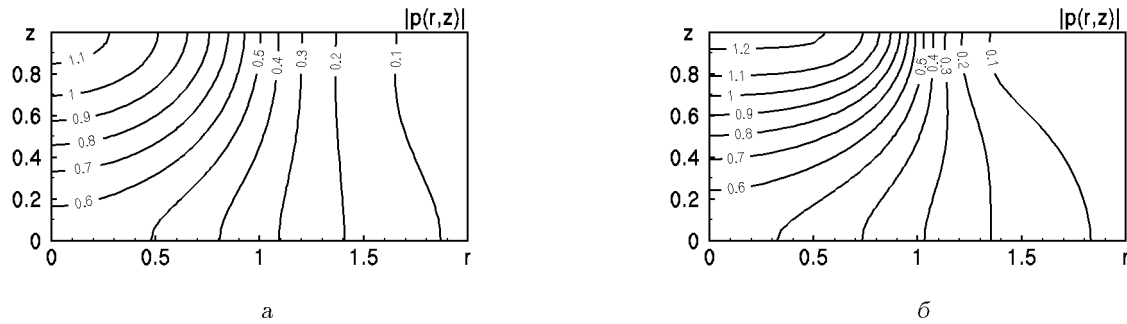


Рис. 2. Распределение модуля давления в двухфазном слое при частотах колебаний:  
а –  $f = 1$  Гц, б –  $f = 5$  Гц

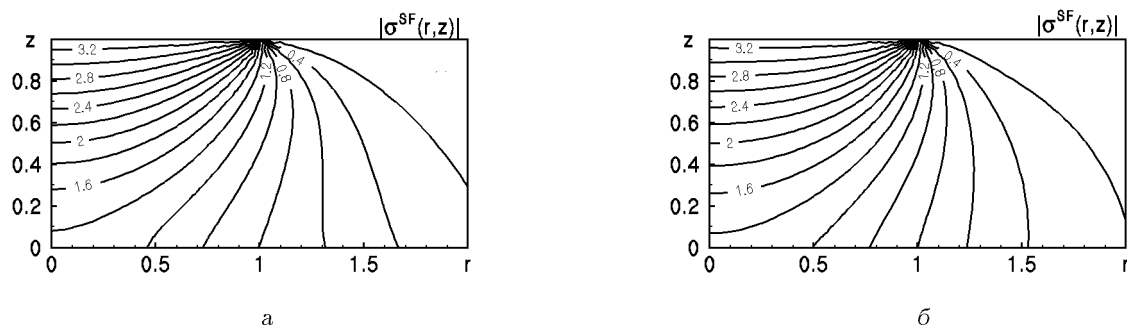


Рис. 3. Распределение модуля общего напряжения в двухфазном слое при частотах колебаний:  
а –  $f = 1$  Гц, б –  $f = 5$  Гц

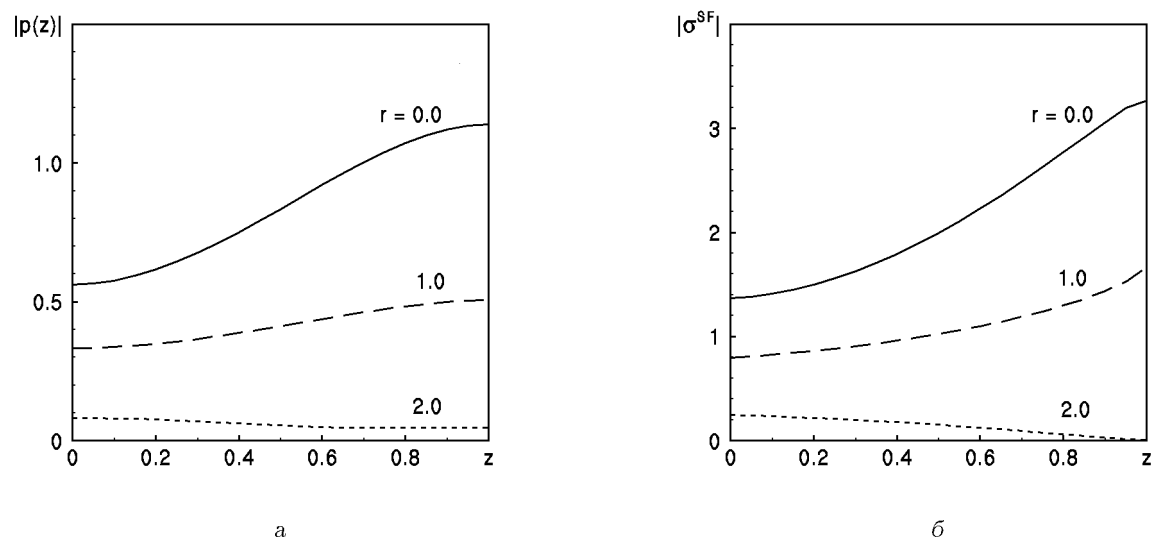


Рис. 4. Распределение модулей давления (а) и общего напряжения (б) по глубине слоя  
при частоте колебаний  $f = 1$  Гц

всех сил, действующих на двухфазную среду.

На рис. 2 и 3 соответственно приведены эпюры линий уровня нормированных к  $2NP_0$  модулей давления  $p(r, z) = -\sigma^f(r, z)/m$  и общего напряжения  $\sigma^{sf}(r, z) = \sigma_z^s(r, z) + \sigma^f(r, z)$  при частотах колебаний  $f = 1$  и  $5$  Гц. Видно, что максимальные значения модулей давления и общего напряжения сосредоточены в той области сечения слоя, в которой приложена нагрузка. С увеличением частоты нагружения линии уровня модуля давления постепенно сгущаются, уменьшая область, в которой отмечается избыточное давление. В то же время, изменение частоты не приводит к существенному изменению распределения общего напряжения в слое.

Рис. 4 иллюстрирует распределение модуля давления и общего напряжения по глубине слоя при фиксированных значениях  $r$  для частоты  $f = 1$  Гц. Видно, что величины давлений и напряжений достигают максимальных значений в местах приложения нагрузки и уменьшаются с глубиной и расстоянием от источника колебаний.

## ЗАКЛЮЧЕНИЕ

Получено явное решение осесимметричной задачи о гармонических колебаниях пористо-упругого насыщенного жидкостью слоя на жестком основании при возбуждении нагрузкой (непроницаемый поршень) на верхней части границы. Найденное решение представляет самостоятельный интерес и может служить тестовым примером и аналитической базой при численно-аналитическом исследовании различных, в том числе смешанных, граничных задач для пористо-упругих слоистых сред. Полученное в статье выражение для определителя  $D(\xi)$  (формула (15)) дает возможность в дальнейшем проанализировать характер распространения волн в пористо-упругом водонасыщенном слое.

На основании проведенного численного анализа полученного решения рассмотрена энергетика волнового процесса в зависимости от частоты (в том числе, предельные случаи). Показано, что при большой проницаемости среды поведение двухфазной среды приближается к упругой модели и работа сил сосредотачивается в твердой фазе. Для случая средней величины проницаемости величины диссипации энергии в твердой и жидкой фазах соизмеримы между собой и стабилизируются с ростом частоты. В предельном случае малой проницаемости работа сил значительно уменьшает-

ся, что позволяет сделать вывод о том, что среда движется практически как однофазная.

1. Biot M. A. Theory of propagation of elastic waves in fluid-saturated porous solid // J. Acoust. Soc. Amer.- 1956.- **28**, N 2.- P. 168-191.
2. В. Н. Николаевский, К. С. Басниев, А. Т. Горбунов и др. Механика насыщенных пористых сред.- М.: Недра, 1970.- 336 с.
3. Сеймов В. М., Трофимчук А. Н., Савицкий О. А. Колебания волны в слоистых средах.- К.: Наук. думка, 1990.- 222 с.
4. Ляховичский Ф. М. Сейсмические волны в гетерогенных средах.- М.: Межвед. геофиз. комитет при Президиуме АН СССР, 1988.- 162 с.
5. Косачевский Л. Я. Об отражении звуковых волн от слоистых двухкомпонентных сред // Прикл. мат. и мех.- 1961.- **25**, N 6.- P. 1076-1082.
6. Yamamoto T. Acoustic propagation in the ocean with a poro-elastic bottom // J. Acoust. Soc. Amer.- 1983.- **73**, N 5.- P. 1578-1596.
7. Марков М. Г., Юматов А. Ю. Акустические свойства слоистой пористой среды // ЖПМТФ.- 1988.- **167**, N 1.- С. 115-119.
8. Albert G. D. A comparison between wave propagation in water-saturated and air-saturated porous materials // J. Appl. Phys.- 1993.- **73**, N 1.- P. 28-36.
9. Городецкая Н. С. Затухание симметричных волн при распространении в пористо-упругом слое со свободными поверхностями // Акуст. вісн.- 1998.- 1, N 4.- С. 4-18.
10. Пономаренко В. Г., Метлов Л. С., Сургай Н. С. Возбуждение упругих волн в двухкомпонентном полупространстве // Теор. и прикл. мех.- 1976.- Вып. 7.- С. 20-25.
11. Саатов Я. У. Плоские задачи механики упругопористых сред.- Ташкент: Фан, 1975.- 252 с.
12. Halpern R. M., Christiano P. Response of poroelastic halfspace to steady-state harmonic surface tractions // Inter. J. Num. Analyt. Methods in Geomech.- 1986.- **10**.- P. 609-632.
13. Halpern R. M., Christiano P. Steady-state harmonic response of a rigid plate bearing on a liquid-saturated poroelastic halfspace // Earthq. Eng. Str. Dynam.- 1986.- **14**.- P. 439-454.
14. Трофимчук А. Н. Динамическое взаимодействие жесткой плиты с водонасыщенным пористоупругим основанием // Прикл. мех.- 1996.- **32**, N 1.- С. 69-74.
15. Stoll R. D., Bryan G. M. Wave attenuation in saturated sediments // J. Acoust. Soc. Amer.- 1970.- **47**, N 5, Pt. 2.- P. 1440-1447.
16. Косачевский Л. Я. О распространении упругих волн в двухкомпонентных средах // ПММ.- 1959.- **23**, N 6.- С. 1115-1123.
17. Ватсон Г. Н. Теория бесселевых функций. Ч. I.- М.: Изд-во иностр. лит., 1949.- 798 с.
18. Гринченко В. Т., Мелешко В. В. Гармонические колебания и волны в упругих телах.- К.: Наук. думка, 1981.- 284 с.
19. Deresiewicz H., Skalak R. On uniqueness in dynamic poroelasticity // Bull. Seism. Soc. Amer.- 1963.- **53**, N 4.- P. 783-788.